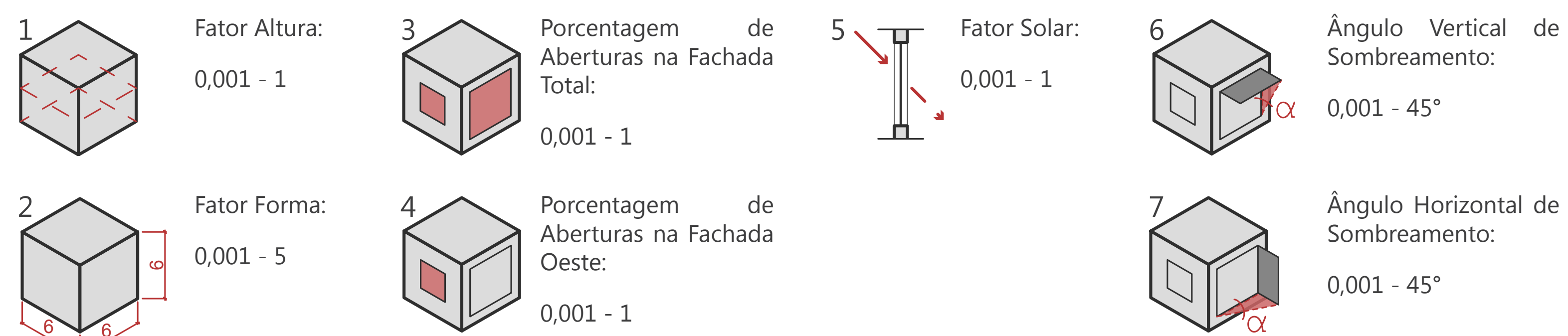


INTRODUÇÃO

É possível contribuir para a diminuição de consumo de energia, vinculando protocolos de avaliação energética com tecnologias de processamento de informação. O Regulamento Técnico de Qualidade para edificações comerciais (RTQ-C) tem por objetivo favorecer o bom desempenho energético. Foi desenvolvido um modelo computacional que, utilizando regras da gramática de formas, ajuda a identificar características desejáveis pelo RTQ-C.

MATERIAL E MÉTODO

O RTQ-C, através de fórmulas, atribui notas para a eficiência energética de edificações comerciais. As fórmulas são separadas por zona bioclimática e área de projeção da edificação (maior ou menor do que 500m²). Para esta pesquisa foi fixada a zona bioclimática 3 (de Porto Alegre) e área de projeção da edificação menor do que 500m². Sete variáveis da fórmula estão ilustradas ao lado com os respectivos nomes e limitações dos valores.



O experimento utilizou matrizes de valores de entrada para aplicar o cálculo do RTQ-C combinando todos os números dentro de um conjunto, para que todas as possibilidades fossem averiguadas. Para obter os valores de entrada do experimento utilizou-se o programa Rhinoceros com o plug-in Grasshopper para criar um conjunto de números, dentro de limites estabelecidos, de maneira sequencial (intervalos regulares) e dois de maneira arbitrária.

A visualização do resultado da fórmula do RTQ-C foi dificultada pelo número de dados (um bilhão) envolvidos. Para resolver este problema foi desenvolvido o **Método de Empilhamento**¹, no qual as notas resultantes de cada valor de entrada são somadas, formando pilhas – mais altas para os que obtiveram melhores resultados.

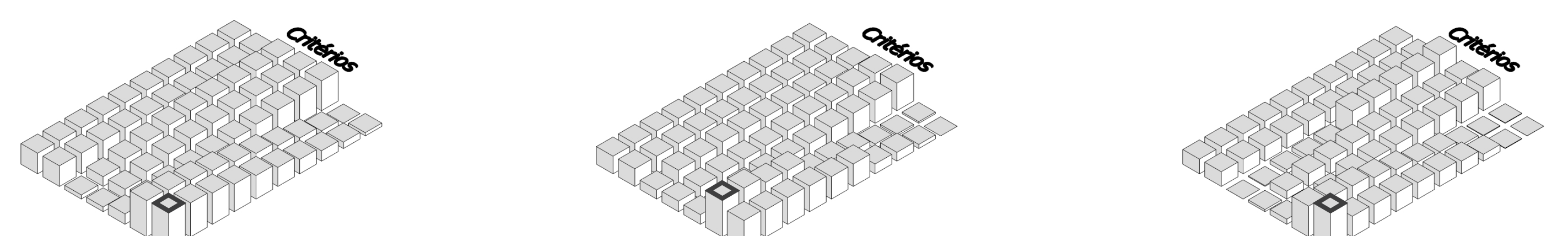
A partir da análise dos resultados do experimento descrito foi desenvolvida uma gramática de formas.

SEQUENCIAL								ARBITRÁRIO 1								ARBITRÁRIO 2							
Matrizes de valores de entrada																							
FA	FF	PAFt	PAFo	FS	AVS	AHS		FA	FF	PAFt	PAFo	FS	AVS	AHS		FA	FF	PAFt	PAFo	FS	AVS	AHS	
0.001	0.001	0.001	0.001	0.001	0.001	0.001		0.030	0.628	0.012	0.453	0.087	0.810	14.376		0.090	0.088	0.250	0.050	0.109	4.374	0.865	
0.112	0.556	0.112	0.112	0.112	5.001	5.001		0.039	0.705	0.110	0.487	0.271	0.953	18.574		0.129	0.203	0.490	0.164	0.195	4.600	1.624	
0.223	1.112	0.223	0.223	0.223	10.001	10.001		0.293	0.843	0.167	0.578	0.297	3.087	22.770		0.178	1.577	0.498	0.281	0.281	7.736	10.896	
0.334	1.667	0.334	0.334	0.334	15.001	15.001		0.372	0.869	0.226	0.595	0.357	7.340	23.537		0.345	2.234	0.511	0.329	0.310	13.728	17.118	
0.445	2.223	0.445	0.445	0.445	20.001	20.001		0.446	1.314	0.307	0.720	0.500	10.012	36.120		0.356	2.878	0.537	0.393	0.447	16.050	19.411	
0.556	2.778	0.556	0.556	0.556	25.000	25.000		0.505	2.565	0.405	0.802	0.561	10.593	36.154		0.486	3.436	0.906	0.420	0.486	21.214	20.679	
0.667	3.334	0.667	0.667	0.667	30.000	30.000		0.543	2.614	0.446	0.839	0.638	23.531	39.481		0.580	3.486	0.911	0.614	0.556	26.063	22.627	
0.778	3.889	0.778	0.778	0.778	35.000	35.000		0.611	3.341	0.771	0.861	0.697	24.517	40.564		0.588	4.554	0.924	0.653	0.861	31.145	24.010	
0.889	4.445	0.889	0.889	0.889	40.000	40.000		0.725	3.622	0.802	0.915	0.732	39.038	41.218		0.741	4.888	0.982	0.784	0.942	32.879	24.694	
1.000	5.000	1.000	1.000	1.000	45.000	45.000		0.941	3.806	0.985	0.962	0.810	39.793	43.819		0.887	4.896	0.997	0.974	0.945	37.586	41.922	

Matrizes de Resultados (Empilhamento)

FA	FF	PAFt	PAFo	FS	AVS	AHS		FA	FF	PAFt	PAFo	FS	AVS	AHS		FA	FF	PAFt	PAFo	FS	AVS	AHS	
0.565	0.566	0.756	0.756	0.819	0.000	0.087		0.483	0.483	0.524	0.675	0.755	0.043	0.000		0.402	0.402	0.827	0.505	0.638	0.010	0.002	
0.565	0.565	0.755	0.755	0.768	0.137	0.176		0.483	0.483	0.524	0.654	0.637	0.051	0.112		0.402	0.402	0.713	0.505	0.589	0.016	0.011	
0.565	0.565	0.749	0.749	0.719	0.288	0.284		0.483	0.483	0.524	0.591	0.620	0.122	0.242		0.402	0.402	0.706	0.505	0.546	0.091	0.188	
0.565	0.565	0.731	0.731	0.667	0.422	0.395		0.483	0.483	0.524	0.580	0.577	0.277	0.267		0.402	0.402	0.693	0.499	0.530	0.256	0.346	
0.565	0.565	0.693	0.693	0.607	0.557	0.522		0.483	0.483	0.524	0.495	0.481	0.368	0.615		0.402	0.402	0.682	0.493	0.447	0.323	0.410	
0.565	0.565	0.640	0.623	0.546	0.674	0.644		0.483	0.483	0.528	0.428	0.442	0.389	0.615		0.402	0.402	0.139	0.491	0.421	0.456	0.450	
0.565	0.565	0.542	0.540	0.484	0.777	0.754		0.483	0.483	0.528	0.398	0.388	0.783	0.704		0.402	0.402	0.129	0.399	0.378	0.583	0.503	
0.565	0.565	0.409	0.410	0.412	0.865	0.857		0.483	0.483	0.461	0.379	0.345	0.806	0.733		0.402	0.402	0.111	0.351	0.190	0.705	0.546	
0.565	0.565	0.267	0.269	0.347	0.938	0.935		0.483	0.483	0.443	0.341	0.322	0.992	0.747		0.402	0.402	0.023	0.218	0.143	0.736	0.566	
0.565	0.565	0.112	0.127	0.284	0.996	1.000		0.483	0.483	0.251	0.289	0.265	1.000	0.797		0.402	0.402	0.000	0.057	0.140	0.846	1.000	

Visualização das Matrizes de Resultados (Empilhamento)



AVS e AHS como critérios mais influentes e com maior variação. PAFt, PAFo e FS tem influência positiva de maneira inversa a AVS e AHS.

Caso em que o PAFt se mostrou menos influente e com resultados próximos da média, e o AVS teve o melhor valor acumulado.

Neste caso os 5 critérios tiveram mais variação do que nos dois anteriores